

碎波以深領域における波の打ち上げ高

中部工業大学 正員 高田彰

1. まえがき

著者が昨年提案した算定式は、堤脚水深が進行波の碎波水深より深い、いわゆる重複波水深領域についてであるが、Miche の線形理論解に有限振幅重複波の非線形効果を考慮している点が大きな特徴である。しかし、非線形項の理論式の中でどの理論式が最も適合性がよいのか、また、どのような特性があり、適用限界はどうかなど、十分検討がなされていないので、碎波以深領域における波の打ち上げ高の算定式として用いるにはまだ問題点が残されていた。

そこで、この研究は上記のような点に着目して、有限振幅重複波の各種理論式の非線形項の特性と明らかにして、実験値との適合性を検討し、最も適合性のよい算定式とその適用限界を明らかにする。さらに、それらの算定式を種々の条件について計算し、実用上便利な波の打ち上げ高の算定図を作成することにある。

2. 理論的考察

(1) 波の打ち上げ高の算定式(碎波以深領域に沿う壁体)

i) Surging Wave 領域 ($\cot\theta \leq \cot\theta_c$ あるいは $\frac{H_0}{L_0} \leq (\frac{H_0}{L_0})_c$)

$$\frac{R}{H_0} = \left(\sqrt{\frac{\pi}{2\theta}} + \delta \right) \cdot K_s \cdot K_f \cdot K_r \cdot K_d \quad \text{--- (1)}$$

$$\frac{R}{H} = \sqrt{\frac{\pi}{2\theta}} + \delta \quad \text{--- (1')}$$

ここで、 H_0 : 沖波波高、 H : 堤脚水深における入射波高、 θ : のり面傾斜角、 δ : 非線形項(後述)、 K_s : 減水係数、 K_f : 摩擦係数、 K_r : 屈折係数、 K_d : 回折係数、 θ_c : Surging Wave(Nonbreaking Wave)を生ずる最緩傾斜角であり、つきの式で示される。

$$\sqrt{\frac{2\theta_c}{\pi}} \cdot \frac{\sin^2 \theta_c}{\pi} = K_f \cdot K_r \cdot K_d \cdot \left(\frac{H_0}{L_0} \right) \quad \text{--- (2)}$$

$$= K_f \cdot K_r \cdot K_d \cdot \sqrt{\frac{\sinh 2kh + 2kh}{\sinh 2kh}} (\tanh kh)^{\frac{3}{2}} \left(\frac{H}{L} \right) \quad \text{--- (2')}$$

$(\frac{H_0}{L_0})_c$: θ におけるSurging Waveを生ずる最大沖波波形勾配をあらわし、式(2)において θ_c を θ とし $\frac{H_0}{L_0}$ を $(\frac{H_0}{L_0})_c$ とすれば求められる。

ii) Breaking Wave 領域 ($\cot\theta > \cot\theta_c$ あるいは $\frac{H_0}{L_0} > (\frac{H_0}{L_0})_c$)

$$\frac{R}{H_0} = \left(\sqrt{\frac{\pi}{2\theta_c}} + \delta \right) \left(\frac{\cot\theta_c}{\cot\theta} \right)^{\frac{2}{3}} \cdot K_s \cdot K_f \cdot K_r \cdot K_d \quad \text{--- (3)}$$

$$\frac{R}{H} = \left(\sqrt{\frac{\pi}{2\theta_c}} + \delta \right) \cdot \left(\frac{\cot\theta_c}{\cot\theta} \right)^{\frac{2}{3}} \quad \text{--- (3')}$$

(2) 非線形項 δ の各種理論式

i) Sainflou 式の δ_s : $\delta_s = (H/L)k \coth kh \quad \text{--- (4)}$

ii) Miche式の δ_M : $\delta_M = (\frac{1}{8})kh(3\coth^3 kh + \tanh kh)$ --- (5)

なお、第2次近似式（浜田式）の δ_{II} は δ_M と同一の式で表わされる。

iii) 第3次近似式 (Tadjibakhsh-Keller式) の δ_{III}

$$\delta_{III} = \epsilon_A^2 \cdot \delta_M \quad \text{--- (6)}$$

$$= \epsilon_A^2 \cdot \delta_{II} \quad \text{--- (6')}$$

ここで、 ϵ_A : 有限振幅波の等価波高係数 ($= A/H \leq 1$, A : 微小振幅波の振幅)

ϵ_A の算定式は、昭和45年度土木学会中部支部研究発表会の著者の講演 P.128 参照。

iv) 第4次近似式 (合田式) の δ_N

$$\delta_N = \delta_{III} + (\frac{1}{6})\epsilon_A^4(kH)^3(b_{02} + b_{22} + b_{42} + b_{04} + b_{24} + b_{44}) \quad \text{--- (7)}$$

ここで、 $b_{02}, b_{22}, b_{42}, b_{04}, b_{24}$ および b_{44} は中部支部研究発表会 (昭和45年度) の著者の講演 P.129 参照。

3 実験的考察

(1) δ の諸理論値と実験値

の比較

図-1(a)～(f) は式(4)～(7) の δ の計算値と実験値を比較したものである。

これより、 h/L_A が大きくなると δ の諸理論値の差は小さくなるが、 δ_{III} および δ_N の適合性がよいといえる。

しかし、海底勾配が大きく ($\tan \alpha = 1/30 \sim 1/10$)、碎波点附近に鉛直壁のわる場合は図より明らかに跳波が生じ、 δ_{III} および δ_N の値よりも大きくなる。そこで、このような場合には $\delta_M (= \delta_{II})$ の値がかなり小さくなるといえる。

以上より、重複水深領域では、 δ_{III} および δ_N の適合性がよい。重複波の碎波水深と進行波の碎波水深の間の領域では、海底勾配の小さい場合は δ_{III} および δ_N がよく合うが、海底勾配の大きい場合は $\delta_M (= \delta_{II})$ が適合性がよい。

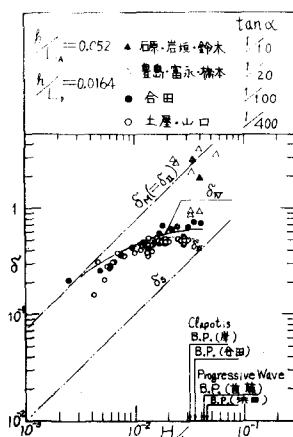


図-1 (a) δ の値 ($h/L_A = 0.052$)

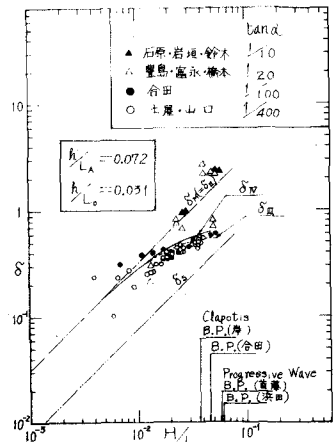


図-1 (b) δ の値 ($h/L_A = 0.072$)

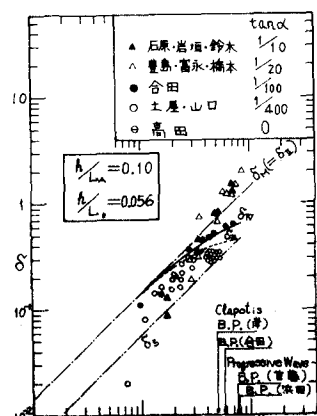
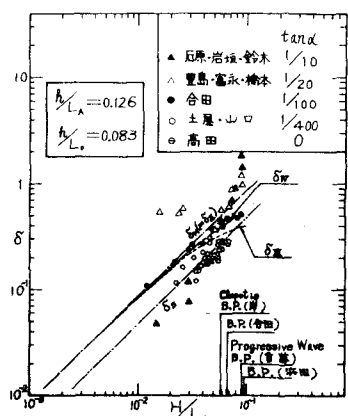


図-1 (c) δ の値 ($h/L_A = 0.10$)



(2) R/H_0 の計算値と実験値の比較

式(1), (3)において δ にどの理論式を用いるかによって
かなり異なる値を示す。

図-2(a), (b), (c)は δ_S , δ_{III} , δ_{IV} , $\delta_M (= \delta_{II})$ を
用いて式(1), (3)を計算し、実験値と比較したものである。

なお、式(1), (3)において K_f , K_r および K_d の影響を
無視して、 $K_f = K_r = K_d = 1$ として計算している。

これらより、海底勾配の影響もあって一律に論することは
できないが、 h/L_A の大きい場合は諸理論の計算値の差
は小さく、いずれの計算値を用いても実験値とかなり
よく適合している。

しかし、 h/L_A が小さい場合は計算値の相互の差
が大きくなり、どの計算値を用いるかが問題となる。

すなわち、海底勾配の小
さい場合は δ_{III} および δ_{IV}
を用いた計算値が適合性
がよいが、海底勾配の大
きい場合は、 $\delta_M (= \delta_{II})$ を
用いた計算値がよく合うと
いえる。

なお、式(2)を満足する
 $\cot\theta_c$ で、 $(R/H_0)_{max}$
を生ずることが確かめられ
たので、式(2)および(2)'
は重複波水深領域における
最大打ち上げ高を生ずる
条件式とみなすことができる。

以上より、式(1), (3)の
計算式において式(6)あ

るいは式(7)を用いれば、一般に適合性がよく、碎波点附近に堤脚水深のある場合で、海底勾配
の大きいときは式(5)を用いる方がよく合うことがわかる。実用的には、式(5)を用いて
式(1)および(3)を計算すれば安全側にあるので、設計する立場からすれば望ましいといえる。

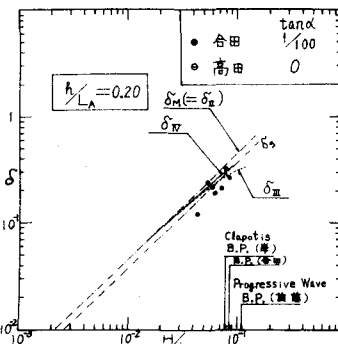
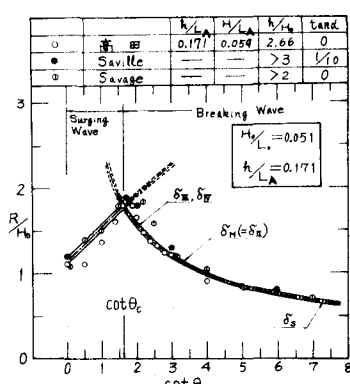
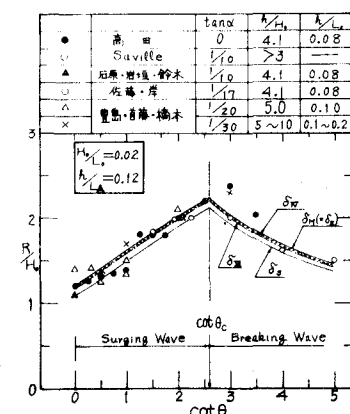


図-1(e) $h/L_A = 0.20$



(a) $H_0/L_0 = 0.051, h/L_A = 0.171$



(b) $H_0/L_0 = 0.02, h/L_A = 0.12$

図-2 R/H_0 の計算値と実験値の比較

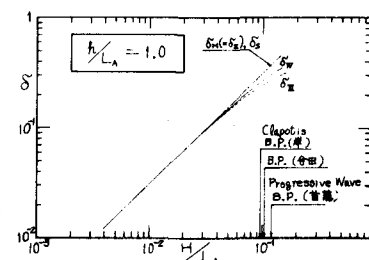
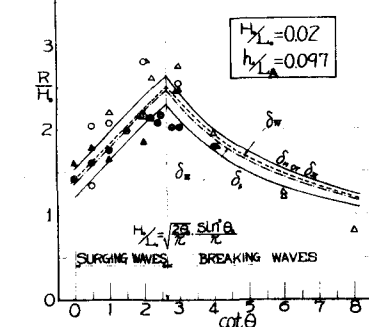


図-1(f) $h/L_A = 1.0$

記号	実験値	tan theta_c	H_0/L_0	h/L_A
●	高田	0	1/10	1~3
△	Saville	1/10	>3	---
○	佐藤・岸	1/17	4.1	0.08
▲	岩崎・岸	1/20	4.1	0.08
x	豊島・若林・橋本	1/30	5~10	0.10~0.2



(c) $H_0/L_0 = 0.02, h/L_A = 0.097$

なお、式(1)および(3)の適用範囲は図-1(a)～(e)より明らかのように、堤脚水深が進行波の碎波水深より深い場合であり、碎波限界は式(8)の浜田の実験式で示される。

$$\frac{H_b}{L_b} = 0.142 \tanh kh_b \quad \text{---(8)}$$

ここで、 h_b :碎波水深、 H_b および L_b : h_b における波高および波長を表す。

4. R/H_0 および R/H の算定図

式(5)あるいは(6)を用いて式(1)'と式(3)'を計算すれば R/H が求まるが、計算が複雑であるので、あらかじめ種々の条件について計算して、一般性のある算定図を作成しておくことは実用的にも有益である。ここでは、そのための基本図を作成し、あとはそれらの図を読みとり簡単な計算で求まるような方法について述べる。

(1) Surging WaveとBreaking Waveの判別

式(2)'において $K_f = K_r = K_d = 1$ とし、 $h/L = 0.04 \sim 0.30$ について H/L と $\cot \theta_c$ の関係を計算した結果が図-3に示される。これより曲線の上側が Breaking Wave、下側が Surging Wave となる領域をあらわしている。

(2) Surging Wave領域の R/H の計算値

式(1)'の右辺第1項は図-4に、第2項は式(b)を用いる場合は図-5(a)、式(5)を用いる場合は図-5(b)に示される。図-4と図-5の値を加算すれば R/H が求められる。

(3) Breaking Wave領域の R/H

図-3より $\cot \theta_c$ を求め $(\cot \theta_c / \cot \theta)^{\frac{1}{3}}$ を計算する。一方、図-4と図-5を加算して、 $(\sqrt{\frac{\pi}{2\theta_c}} + \delta)$ を求め、先に求めた $(\cot \theta_c / \cot \theta)^{\frac{1}{3}}$ を乗すれば、 R/H が求められる。

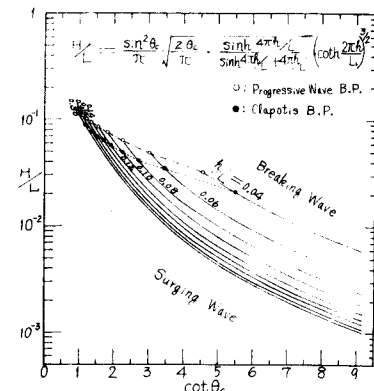


図-3 Surging Waveと
Breaking Waveの判別

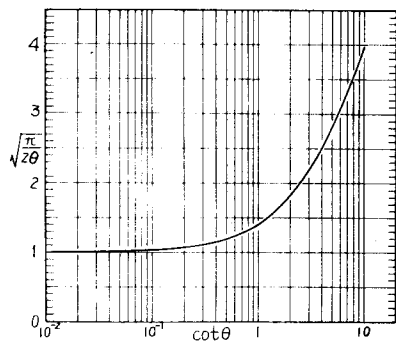
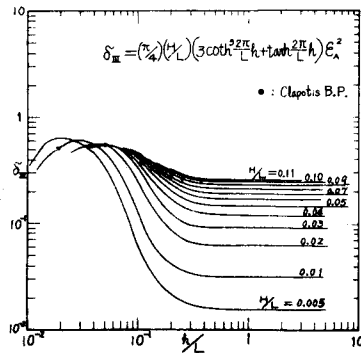
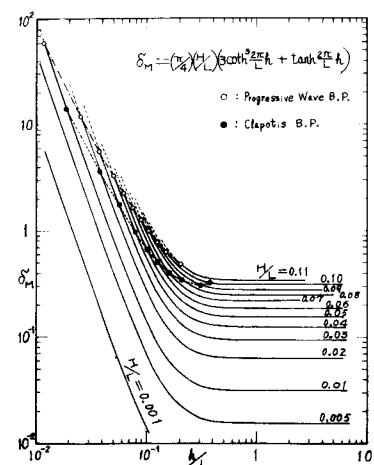


図-4 $\sqrt{\frac{\pi}{2\theta}}$ の値



(a) δ_M の値

図-5 δ と h/L の関係



(b) δ_M の値
 h/L の関係